



دانشگاه علمی صنایع رسانه ایران

# AMNC

available online @ amnc.aut.ac.ir

نشریه علمی پژوهشی مواد پیشرفته و پوشش‌های نوین - ۲۵ (۱۳۹۷-۱۸، ۸)

## طراحی و ساخت نانوحسگر زیستی چندگانه برای تشخیص همزمان گازهای دی اکسید کربن، متان، اتانول و آمونیاک

حمیدرضا مشیدی<sup>۱</sup>، محمد ربیعی<sup>۲\*</sup>، نوید ربیعی<sup>۳</sup>

۱ دانشجوی دکتری، گروه بیو متریال، دانشکده مهندسی پزشکی، دانشگاه صنعتی امیرکبیر، تهران، ایران

۲ دانشیار، گروه بیو متریال، دانشکده مهندسی پزشکی، دانشگاه صنعتی امیرکبیر، تهران، ایران

۳ دانشجوی دکتری، گروه شیمی، دانشگاه صنعتی شریف، تهران، ایران



تاریخ دریافت:

۹۷/۱۰/۱۴

تاریخ پذیرش:

۹۷/۱۲/۱۱

در این مطالعه یک نانوحسگر زیستی چندگانه برای تشخیص همزمان گازهای دی اکسید کربن، متان، اتانول و آمونیاک ساخته شد و پاسخ الکتروشیمیابی آن به غلظت‌های مختلف این گازها مورد بررسی قرار گرفت. برای ساخت آن از نانوکامپوزیت گرافن اکساید/پلی آئیلینی که در تحقیق قبل ساخته بودیم و ترکیب شیمیابی و ریخت شناسی و ساختار آن را با آنالیزهای FE-SEM، FT-IR، XRD و HR-TEM مورد بررسی قرارداده بودیم بهره جستیم. در این تحقیق نانو کامپوزیت تشکیل شده را بر روی الکترودهای جدیدی با روکش نقره قرار داده و سپس با قرار دادن نانو ذرات اکسید آلومینیوم، اکسید روی، اکسید قلع و اکسید تیتانیوم قسمت‌های مختلف نانوحسگر زیستی چندگانه به ترتیب نسبت به گازهای دی اکسید کربن، متان، اتانول و آمونیاک حساس شد و میزان پاسخ و حساسیت آن نسبت به هریک از گازها با انجام آزمایش‌های آمپرومتریک مورد سنجش قرار گرفت و نتایج نشان داد که حساسیت حسگرهای ساخته شده برای تشخیص گازهای فوق قابل قبول می‌باشد. بررسی نتایج حاصل از انجام آزمایش‌های الکتروشیمیابی نشان داد که پاسخ هر جز نانوحسگر زیستی چندگانه نسبت به مخلوطی از ۴ گاز مورد بحث به صورت یک معادله ۴ مجھولی تعریف می‌شود و با در نظر گرفتن پاسخ‌های ۴ جزء این حسگر چندگانه به صورت همزمان نسبت به مخلوط ۴ گاز مورد سنجش، ۴ معادله ۴ مجھولی حاصل می‌شود که با حل آن میتوان به غلظت دقیق هریک از ۴ گاز مورد سنجش پی برد. البته این تا زمانی معتبر است که هیچ یک از حسگرهای به حالت اشباع نرفته باشند و گاز موثر دیگری به جز ۴ گاز مورد بحث در آنالیت وجود نداشته باشد.



نانو حسگر زیستی چندگانه، اکسید گرافن، پلی آئیلین، نانو ذرات اکسید فلزی، حسگر گاز

واژگان کلیدی

## (۱) مقدمه

گاز مجھولی که مخلوطی از  $n$  گاز متفاوت می‌باشد، کافی است  $n$  عدد سنسور خطی (یا یک نانوکامپوزیت گرافن اکساید-پلی آنیلین) داشته باشیم که هر جزء میزان حساسیت متفاوتی نسبت به هریک از گازها داشته باشد. آنگاه با انجام محاسبات ریاضی می‌توان به غلط دقت ۴۵ در گاز پی برد.

## (۲) مواد و مراحل ساخت نانوحسگر زیستی چندگانه

### (۱۲) مواد

۲ میلی گرم از پودر سنتز شده نانوکامپوزیت گرافن اکساید-پلی آنیلین که در تحقیق قبل حاصل شد، نانو پودر اکسید آلومینیوم فاز گاما با اندازه ذرات ۲۰ نانو متر و درصد خلوص ۹۹٪، نانو پودر اکسید تیتانیوم آناناز با اندازه ذرات ۱۰ تا ۲۵ نانو متر و درصد خلوص ۹۹٪ نانو پودر اکسید روی با اندازه ذرات ۱۰ تا ۳۰ نانو متر و درصد خلوص ۹۹٪ و نانو پودر اکسید قلع با اندازه ذرات ۳۵ تا ۵۵ نانو متر و درصد خلوص ۹۹٪ از شرکت آلمانی سیگما خریداری شد.

## (۲۲) طراحی و آماده سازی الکترودها

الکترود طراحی شده برای این پژوهش دارای مکان‌های ویژه‌ای برای قرار دادن نانو کامپوزیت گرافن اکساید-پلی آنیلین به همراه نانو ذرات اکسید فلزات مختلف است. این الکترود این امکان را فراهم آورد که به صورت همزمان و با قراردادن نانو پودرهای اکسید فلزات مختلف در هر قسمت، چند نانو حسگر زیستی مختلف به صورت همزمان در یک مجموعه و بسیار نزدیک به یکدیگر فعال باشند و قسمت‌های مختلف نانوحسگر زیستی چندگانه نسبت به یک نمونه برداشته شده از گاز مورد آزمون و به صورت همزمان واکنش‌های متفاوتی را نشان دهند و سیگنال‌های ایجاد شده بدون تداخل با یکدیگر مورد سنجش قرار بگیرند (شکل ۱). این طرح بصورت یک فیبر مدار چاپی با روکش نقره (با همکاری شرکت آلفا مدار) ساخته شد (شکل ۱ (الف)). در این الکترود ضخامت لایه فلزی ۳۵ میکرون و بستر زیرین لایه فلزی از جنس فایبر گلاس می‌باشد. استفاده از فلز نقره در این الکترود به دلیل هدایت الکتریکی بالا و مقاومت الکتریکی بسیار پایین آن و در نتیجه به حداقل رساندن تاثیر مقاومت الکترود بر عبور سیگنال‌های الکتریکی بسیار ضعیف پاسخ سنسور می‌باشد [۱۲]. برای آماده سازی الکترود، ۲ میلی گرم از پودر سنتز شده نانوکامپوزیت گرافن اکساید-پلی آنیلین به ۵۰۰ میکرو لیتر آب مقطور اضافه شد و به مدت نیم ساعت در حمام آتراسونیک قرار داده شد. بر روی هر یک از محل‌های مشخص شده بر روی الکترودها، ۱۰ میکرو لیتر از مخلوط ذرات پراکنده حاصل بوسیله نمونه بردار نشانده شد و الکترودها به مدت ۲ ساعت در دمای ۴۵ درجه در آون قرارداده شدند. به این صورت ۶ الکترود آماده شد (شکل ۱ (ب)).

اغلب حسگرهای گاز که بر پایه نانوکامپوزیت‌های جدید در سال‌های اخیر طراحی و ساخته شده‌اند قادر قابلیت انتخابگری بر جسته‌ای می‌باشند [۱]. از جمله این تحقیقات می‌توان به حسگر ساخته شده توسط Satvik Kulkarni و همکارانش اشاره نمود که می‌تواند ppm خود موفق به طراحی و ساخت حسگر گازی شدند که می‌تواند ۱۰ گاز آمونیاک در دمای اتاق اندازه گیری نماید اما در بررسی هایی که انجام دادند متوجه شدن حسگر ساخته شده توسط آن‌ها اگر در معرض گازهای  $\text{CO}_2$  و  $\text{LPG}$  و اتانول قرار بگیرد نیز دارای پاسخی مشابه Ganesh Gaikwad اما ضعیف‌تر می‌باشد [۲]. در تحقیق دیگری و همکارانش نیز با عملکردی مشابه و عدم خاصیت انتخابگری در عملکرد حسگر گازی طراحی شده مواجه شدند [۳]. ما نیز در تحقیق قبلی خودمان نانو حسگر زیستی حساس به گاز اتانول را طراحی نمودیم اما در حین انجام آزمایش‌ها متوجه شدیم این نانو حسگر زیستی به گاز منو اکسید کربن نیز حساس می‌باشد. هرچند حساسیت آن نسبت به گاز منو اکسید کربن کمتر از حساسیت آن نسبت به گاز اتانول است اما همین میزان اندک خاصیت انتخابگری سنسور را نقض نموده و کاربرد و صحت نتایج خروجی نانو حسگر زیستی منوط به عدم وجود گاز منو اکسید کربن در گاز مجھول می‌باشد [۴].

هدف این مطالعه ساخت نانوحسگر زیستی چندگانه‌ای است که بتواند به طور همزمان گازهای دی اکسید کربن، متان، اتانول و آمونیاک را در یک نمونه آنالیت تشخیص دهد. برای ساخت این نانوحسگر زیستی چندگانه، همانطور که در تحقیق قبل توضیح داده شد گرافن اکساید سنتز شد و سپس سطح آن با استفاده از پلی آنیلین اصلاح شد [۴]. این ساختار چند لایه و مخلخل ناشی از ذرات پلی آنیلین شکل گرفته بر سطح صاف و هموار گرافن اکساید امکان کاربرد این ترکیب استثنایی را به عنوان جاذب سطحی گازهای برای ساخت نانوحسگر زیستی چندگانه گازی فراهم می‌آورد [۵، ۶]. در مطالعه قبل که توسط همین گروه تحقیقاتی انجام شد ابتدا پلی آنیلین سنتز شده و در ادامه گرافن اکساید و نانوکامپوزیت گرافن اکساید پلی آنیلین سنتز و خواص ریخت شناسی و شیمیایی آن‌ها با هم مورد مقایسه قرار گرفت [۴، ۶]. در این مطالعه با قرار دادن نانو کامپوزیت ساخته شده بر روی الکترودهای جدید با پوشش نقره و اضافه کردن نانو ذرات اکسید آلومینیوم (برای ایجاد حساسیت نسبت به گاز دی اکسید کربن) [۷]، اکسید روی (برای ایجاد حساسیت نسبت به گاز متان) [۸]، اکسید قلع (برای ایجاد حساسیت نسبت به گاز اتانول) [۱۱-۹] و اکسید تیتانیوم (برای ایجاد حساسیت نسبت به گاز آمونیاک) [۱۲]، نانوحسگر زیستی چندگانه حساس به گازهای دی اکسید کربن، متان، اتانول و آمونیاک ساخته شد و میزان پاسخ و حساسیت نانوحسگر زیستی چندگانه نسبت به هریک از گازها با انجام آزمایش‌های الکتروآنالیتیکی مورد سنجش و بررسی قرار گرفت.

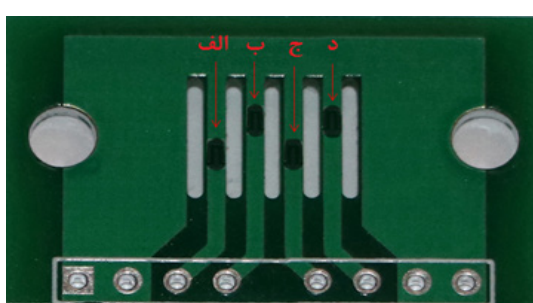
دومین هدف کلی در این مقاله اثبات این ایده است که برای سنجش

حساس می باشند (شکل ۲). اما با توجه به اختلاف مقدار نانو ذرات فلزی بر روی الکتروودها میزان حساسیت آنها باهم متفاوت است که در بررسی های الکتروآنالیتیکی اندازه گیری و گزارش شده است.

#### (۴) انجام آنالیزهای آمپرومتری

در این تحقیق برای انجام آزمایش های الکتروآنالیتیکی [۱۴]، آنالیزهای آمپرومتری برای هریک از نانوحسگرهای زیستی با دستگاه Multi Autolab/m101 از شرکت Metrohm از کشور هلند انجام شد و گراف حاصل از هر آزمایش جهت مقایسه و تحلیل عملکرد آن نانوحسگر زیستی ذخیره شد. برای انجام آنالیزهای الکتروآنالیتیکی غلظت های مشخص از گازهای متان، اتانول، آمونیاک و دی اکسید کربن توسط دستگاه رقیق کننده گاز DIM200 از شرکت AMA Instruments ساخت کشور آلمان تهیه شد.

برای انجام آزمایش آمپرومتری چهار بخش (الف و ب و ج و د) نانوحسگر زیستی چندگانه شماره ۱ به چهار کاتال موزای دستگاه آنالایزر متصل شدند. سپس درحالی که نتایج آمپرومتری هر چهار کاتال به صورت چهار نمودار همزمان در یک گراف ذخیره می شد، نانوحسگر زیستی چندگانه توسط دستگاه رقیق کننده گاز به مدت ۲۰ ثانیه در معرض گاز متان با غلظت ۰/۱ ppm قرار داده شد. سپس غلظت گاز به صورت پلکانی با فاصله زمانی ۲۰ ثانیه و به ترتیب به غلظت های ۱ و ۱۰ و ۵۰ و ۱۰۰ ppm افزایش یافت و همه نتایج به صورت یک گراف حاوی ۴ نمودار برای نانوحسگر زیستی چندگانه شماره ۱ (به نام Sensor1Metan) ذخیره شد. در مرحله بعد گاز اتانول جایگزین گاز متان شد آزمایش با گاز اتانول و با غلظت های ۱ و ۱۰ و ۵۰ و ۱۰۰ ppm بر روی همان نانوحسگر زیستی چندگانه انجام شد و نتایج برای نانوحسگر زیستی چندگانه شماره ۱ (به نام Sensor1Etanol) ذخیره شد. سپس گاز آمونیاک و بعد از آن هم گاز دی اکسید کربن جایگزین شدند و آزمایش ها بر روی همان نانوحسگر زیستی چندگانه تکرار شد و گراف های Sensor1CarbonDioxide و ac Sensor1Amuni- شدند. سپس این آزمایش ها برای نانوحسگرهای زیستی چندگانه شماره ۲ تا ۶ نیز انجام شدند و به همان روش گراف ها نام گذاری و ذخیره شدند. در نهایت برای هر



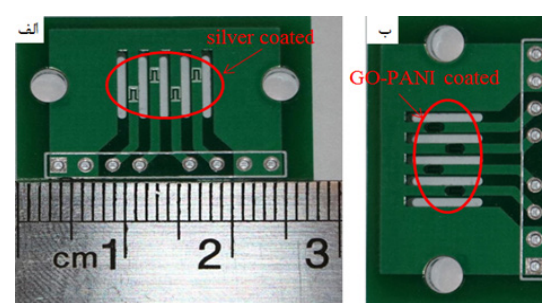
شکل ۲: هر الکتروود آماده شده دارای ۴ مکان مشخص شده با حروف (الف، ب، ج و د) است

#### (۳) ساخت نانوحسگرهای زیستی چندگانه

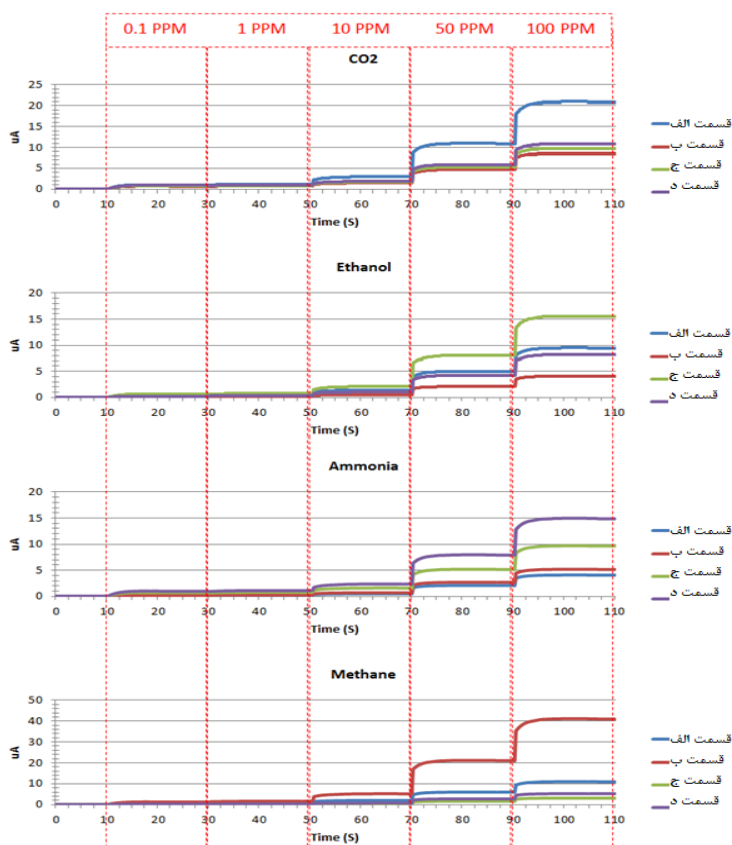
در این تحقیق ۶ عدد نانوحسگر زیستی چندگانه هم شکل با اضافه نمودن مقادیر مختلفی از نانو ذرات اکسید فلزهای مختلف به الکتروودهای آماده شده، ساخته شد که از لحاظ ظاهری مشابه یکدیگر هستند ولی در مقدار نانو ذرات فلزی اضافه شده از یکدیگر متفاوت هستند. سازوکار تشخیص این گازها که به طور کلی آنها را VOC (Volatile organic compounds) می نامیم در تحقیق قبل به طور کامل ارائه شد [۴].

برای ساخت ۶ نانوحسگر زیستی چندگانه ۲۴ ظرف کوچک برداشته و در هر یک ۲ میلی لیتر آب مقطمر قرار داده شد. سپس به ۶ ظرف اول به ترتیب مقادیر ۱ و ۲ و ۴ و ۸ و ۱۶ و ۳۲ میلی گرم از نانوذرات اکسید آلومینیوم و به ۶ ظرف دوم به ترتیب همان مقادیر از نانوذرات اکسید تیتانیوم و به ۶ ظرف سوم همان مقادیر از اکسید آلامینیوم اضافه شد و هر ۲۴ ظرف به مدت نیم ساعت در حمام آلتراسونیک قرار داده شدند.

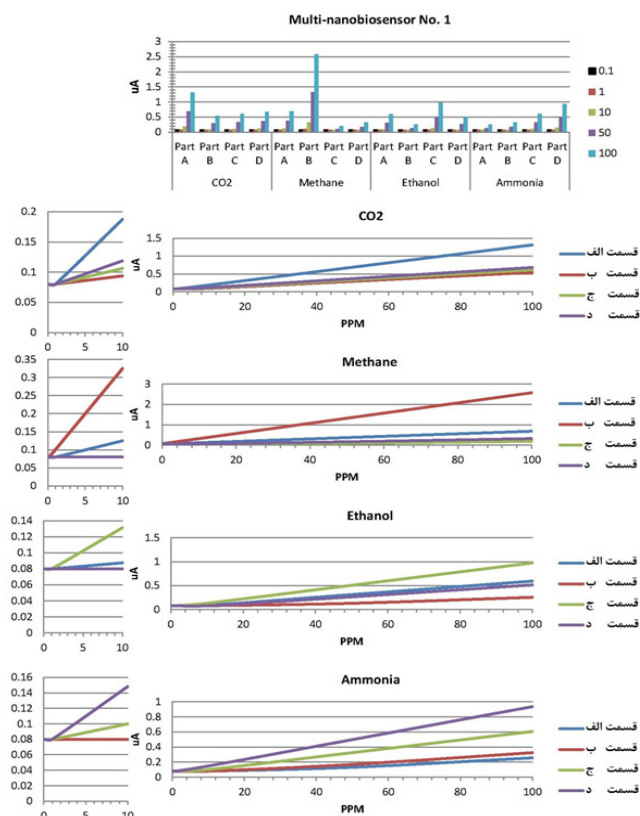
سپس بر روی محل مشخص شده با حرف (الف) از الکتروود اول، ۱۰ میکرولیتر از مخلوط ذرات پراکنده ۰,۵ mg/ml آلامینیوم بوسیله نمونه بردار نشانده شد و سپس بر روی محل مشخص شده با حرف (ب) از همان الکتروود، ۱۰ میکرولیتر از مخلوط ذرات پراکنده ۰,۵ mg/ml نانو ذرات اکسید روى و به همین ترتیب بر روی محلهای مشخص شده با حرف (ج) و (د) نیز نانو ذرات اکسید قلع و نانو ذرات اکسید تیتانیوم با غلظت مشابه و مقادیر مشابه بوسیله نمونه بردار نشانده شدند و بدین ترتیب نانوحسگر زیستی چندگانه اول (شماره ۱) ساخته شد. برای ۵ الکتروود دیگر نیز به همین ترتیب از مخلوطهای ذرات پراکنده ۱ mg/ml ۱ و ۲ و ۴ و ۸ و ۱۶ آماده شده استفاده شد و به ترتیب نانوحسگرهای زیستی چندگانه شماره ۲ تا شماره ۶ ساخته شدند. سپس نانوحسگرهای زیستی چندگانه برای خشک شدن و تثبیت به مدت ۲ ساعت در دمای ۴۵ درجه در آون قرارداده شدند و در نهایت ۶ عدد نانوحسگر زیستی چندگانه حاصل شد که هر یک نسبت به گازهای دی اکسید کربن (در محل (الف)), متان (در محل (ب)), اتانول (در محل (ج)) و آمونیاک (در محل (د))



شکل ۱: الکتروود با پوشش نقره (الف) و الکتروود آماده شده (ب)



شکل ۳: گراف های حاصل از نانوحسگر زیستی چندگانه (شماره ۵)



شکل ۴: نمودار پاسخ های نهایی و حالت پایدار هر ۴ جزء نانوحسگر زیستی چندگانه شماره ۱ به هر گاز با غلظت مشخص

با ۴ بخش سنجش گر آن نانوحسگر زیستی چندگانه هستند. در این نمودارها واضح است که هر ۴ بخش نانوحسگر زیستی چندگانه نسبت به وجود هر چهار گاز دارای پاسخی متفاوت است که شدت پاسخ هریک متفاوت می باشد، بنابراین برای اینکه بتوان در یک نمونه گاز مجھول که مخلوطی از هر چهار گاز با غلظت های متفاوت می باشد، به طور دقیق غلظت هر یک از گازها را مشخص نمود نیاز به پردازش پاسخ های هر چهار جزء بصورت همزمان و استفاده از روابط ریاضی در این خصوص می باشد. با مشاهده و بررسی نتایج که در شکل های ۴<sup>۶</sup> تا ۹<sup>۷</sup> به نمایش گذاشته شده است، مشهود است که نانوحسگر زیستی چندگانه شماره ۵ که در مرحله ساخت آن از ۸۰ میکروگرم اکسید فلز در هر بخش استفاده شده است دارای بیشترین میزان پاسخ خطی و بهینه در کل بازه سنجش است. بنابراین این نانوحسگر زیستی چندگانه برای بررسی های ریاضی انتخاب شد.

### (۲) بررسی های ریاضی عملکرد نانوحسگر زیستی چندگانه

از آنجا که همه قسمت های سنجشگر نانوحسگر زیستی چندگانه شماره ۵ در کل بازه سنجش، عملکردی خطی دارند، می توان با فرض

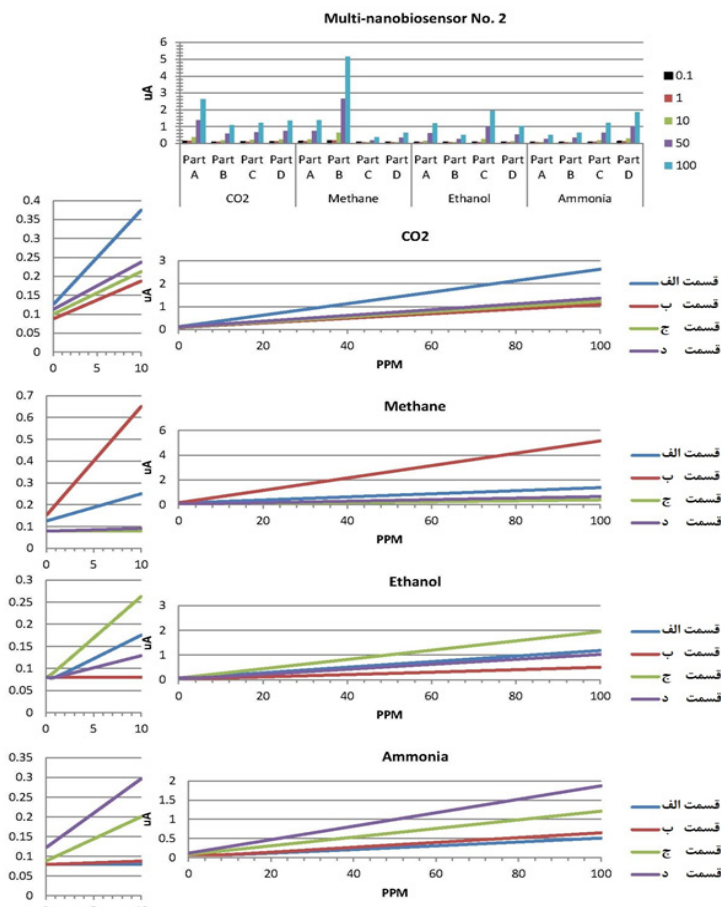
نانوحسگر زیستی چندگانه ۴ گراف و در مجموع ۲۴ گراف حاصل شد. همه آزمایش ها در دمای ۲۵ درجه سلسیوس انجام شدند. در شکل ۳ گراف های حاصل از آزمایش یکی از نانوحسگر زیستی چندگانه به عنوان نمونه نمایش داده شده اند.

### (۳) نتایج و بحث

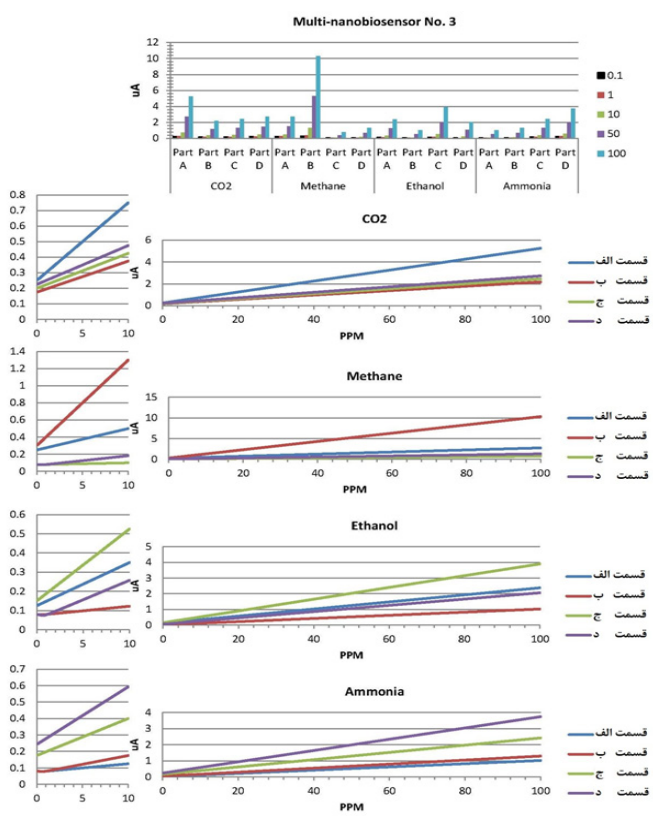
در تحقیق قبل آنالیزهای شناسایی و ارزیابی از جمله (FE-SEM) و (FT-IR) برای نانوکامپوزیت گرافن اکساید-پلی آنیلين سنتر شده بکار گرفته و بطور کامل تحلیل شد [۴]. در این بخش نتایج حاصل از انجام آزمایش های الکتروآلتیکی را بررسی تحلیل می نماییم.

### (۱) تحلیل نتایج آزمایش های آمپرومتری

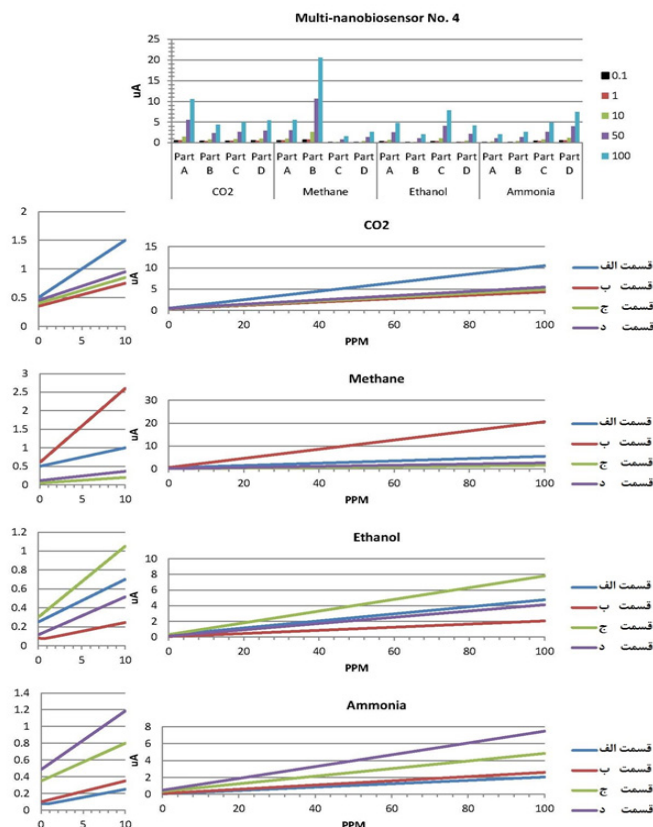
برای تحلیل نتایج آزمایش های انجام شده، پاسخ های نهایی و حالت پایدار هر ۴ جزء هر نانوحسگر زیستی چندگانه به هر گاز با غلظت مشخص در نظر گرفته شد و به صورت یک گراف برای هر نانوحسگر زیستی چندگانه رسم شد [۱۵]. این گراف ها که دارای ۴ بخش مرتبط با ۴ گاز مورد سنجش می باشند، در هر بخش دارای ۴ نمودار مرتبط



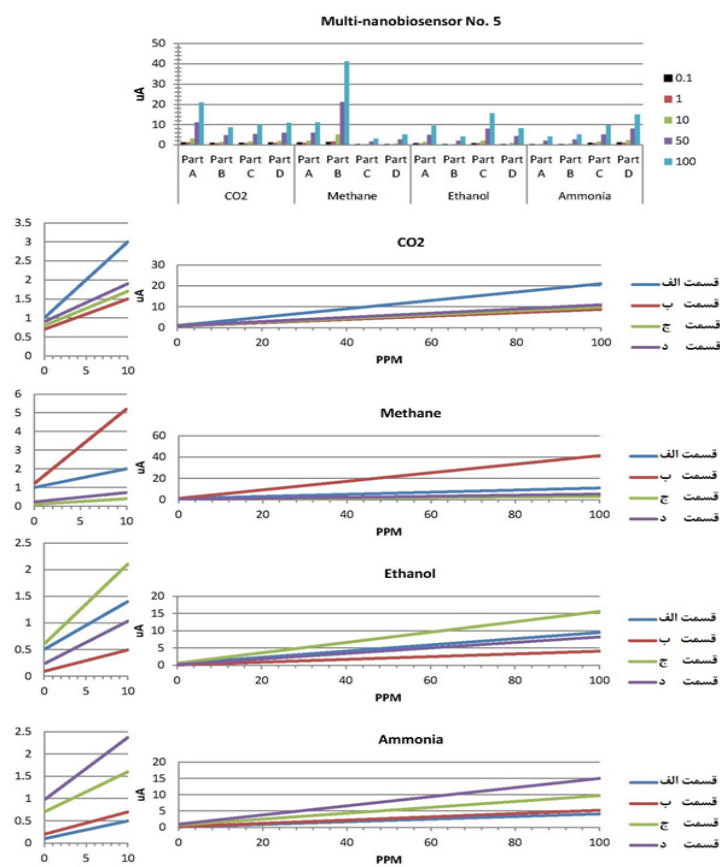
شکل ۵: نمودار پاسخ های نهایی و حالت پایدار هر ۴ جزء نانوحسگر زیستی چندگانه شماره ۲ به هر گاز با غلظت مشخص



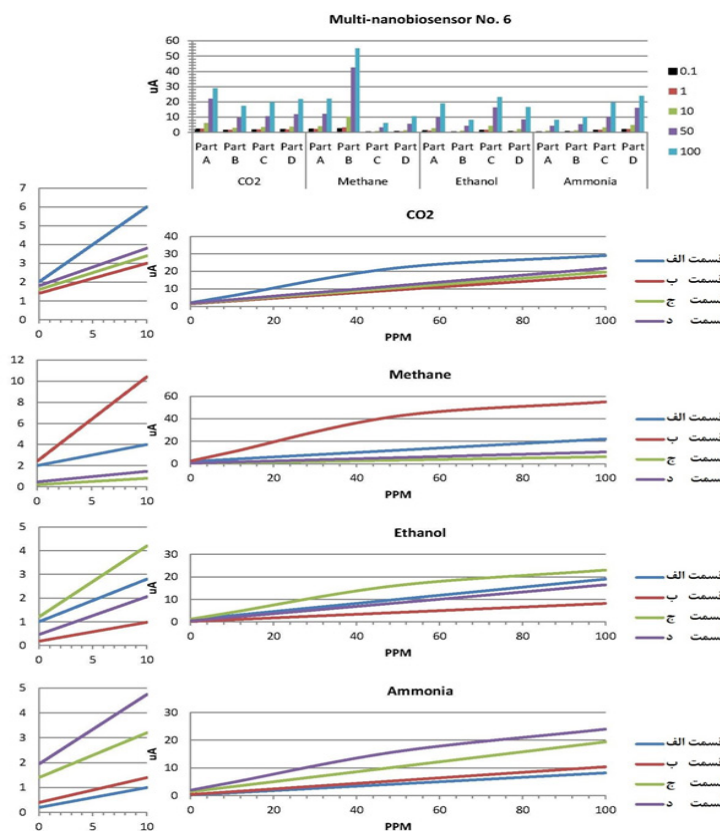
شکل ۶: نمودار پاسخ های نهایی و حالت پایدار هر ۴ جزء نانوحسگر زیستی چندگانه شماره ۳ به هر گاز با غلظت مشخص



شکل ۷: نمودار پاسخ های نهایی و حالت پایدار هر ۴ جزء نانوحسگر زیستی چندگانه شماره ۴ به هر گاز با غلظت مشخص



شکل ۸: نمودار پاسخ های نهایی و حالت پایدار هر ۴ جزء نانوحسگر زیستی چندگانه شماره ۵ به هر گاز با غلظت مشخص



شکل ۹: نمودار پاسخ های نهایی و حالت پایدار هر ۴ جزء نانوحسگر زیستی چندگانه شماره ۶ به هر گاز با غلظت مشخص

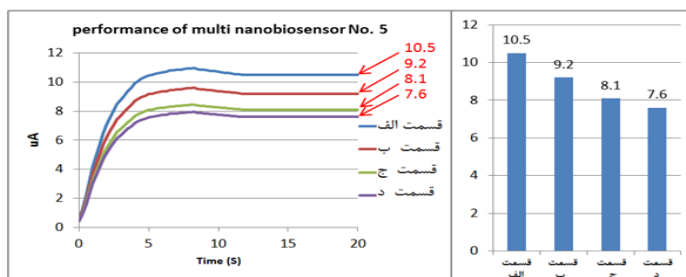
گاز متان (بر حسب ppm) و غلظت گاز اتانول (بر حسب ppm) و T گلظت گاز آمونیاک (بر حسب ppm) در مخلوط گاز مجهول مورد سنجش است. مقادیر RA و RB و RC و RD به ترتیب پاسخ بخش (الف) و (ب) و (ج) و (د) نانوحسگر زیستی چندگانه (بر حسب میکروآمپر) به مخلوط گاز مجهول مورد سنجش می باشد که در هر سنجش از نانوحسگر زیستی چندگانه شماره ۵ دریافت می گردد و با حل معادله ۱ برای این نانوحسگر زیستی چندگانه غلظت دقیق هر گاز در مخلوط ۴ گاز و سایر گازهای بی اثر (ها) مشخص می شود.

(۳) بررسی عملکرد نهایی نانوحسگر زیستی چندگانه برای تعیین صحت عملکرد نانوحسگر زیستی چندگانه شماره ۵ و بررسی امکان تعیین غلظت گازهای مخلوط شده به این روش، این نانوحسگر زیستی چندگانه به مدت ۲۰ ثانیه در ظرفی حاوی ۲۵ گاز دی اکسید کربن، ۱۰ ppm گاز متان، ۲۰ ppm گاز اتانول و ۵ ppm گاز آمونیاک قرار داده شد و پاسخ هر ۴ جزء نانوحسگر زیستی معادله X غلظت گاز دی اکسید کربن (بر حسب ppm) و Y غلظت

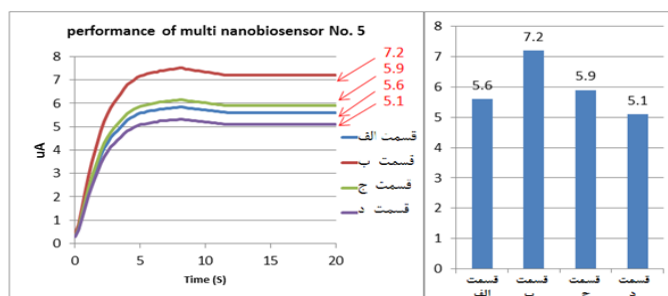
$$\begin{cases} 0.2(\mu A / ppm)X_{(ppm)} + 0.1(\mu A / ppm)Y_{(ppm)} + 0.09(\mu A / ppm)Z_{(ppm)} + 0.04(\mu A / ppm)T_{(ppm)} + 2.6 = RA_{(\mu A)} \\ 0.08(\mu A / ppm)X_{(ppm)} + 0.4(\mu A / ppm)Y_{(ppm)} + 0.04(\mu A / ppm)Z_{(ppm)} + 0.05(\mu A / ppm)T_{(ppm)} + 2.19 = RB_{(\mu A)} \\ 0.09(\mu A / ppm)X_{(ppm)} + 0.03(\mu A / ppm)Y_{(ppm)} + 0.15(\mu A / ppm)Z_{(ppm)} + 0.09(\mu A / ppm)T_{(ppm)} + 2.2 = RC_{(\mu A)} \\ 0.1(\mu A / ppm)X_{(ppm)} + 0.05(\mu A / ppm)Y_{(ppm)} + 0.08(\mu A / ppm)Z_{(ppm)} + 0.14(\mu A / ppm)T_{(ppm)} + 2.33 = RD_{(\mu A)} \end{cases} \quad (1)$$

$$\begin{cases} 0.2X_{(ppm)} + 0.1Y_{(ppm)} + 0.09Z_{(ppm)} + 0.04T_{(ppm)} + 2.6 = 10.5(\mu A) \\ 0.08X_{(ppm)} + 0.4Y_{(ppm)} + 0.04Z_{(ppm)} + 0.05T_{(ppm)} + 2.19 = 9.2(\mu A) \\ 0.09X_{(ppm)} + 0.03Y_{(ppm)} + 0.15Z_{(ppm)} + 0.09T_{(ppm)} + 2.2 = 5.9(\mu A) \\ 0.1X_{(ppm)} + 0.05Y_{(ppm)} + 0.08Z_{(ppm)} + 0.14T_{(ppm)} + 2.33 = 5.1(\mu A) \end{cases} \quad (2)$$

$$\begin{cases} 0.2X_{(ppm)} + 0.1Y_{(ppm)} + 0.09Z_{(ppm)} + 0.04T_{(ppm)} + 2.6 = 5.6(\mu A) \\ 0.08X_{(ppm)} + 0.4Y_{(ppm)} + 0.04Z_{(ppm)} + 0.05T_{(ppm)} + 2.19 = 7.2(\mu A) \\ 0.09X_{(ppm)} + 0.03Y_{(ppm)} + 0.15Z_{(ppm)} + 0.09T_{(ppm)} + 2.2 = 5.9(\mu A) \\ 0.1X_{(ppm)} + 0.05Y_{(ppm)} + 0.08Z_{(ppm)} + 0.14T_{(ppm)} + 2.33 = 5.1(\mu A) \end{cases} \quad (3)$$



شکل ۱۰: نمودار پاسخ هر ۴ جزء نانوحسگر زیستی چندگانه به مخلوطی از ۲۵ ppm گاز دی اکسید کربن، ۱۰ ppm گاز متان، ۲۰ ppm گاز اتانول و ۵ ppm گاز آمونیاک



شکل ۱۱: نمودار پاسخ هر ۴ جزء نانوحسگر زیستی چندگانه به مخلوطی از ۱۰ ppm گاز آمونیاک و بدون گاز دی اکسید کربن

اینکه گاز مجھول مخلوطی از چهار گاز دی اکسید کربن، متان، اتانول و آمونیاک و سایر گازهای غیر موثر باشد، با استفاده از روابط ریاضی به غلظت دقیق هر گاز بی برد. قطعاً این روابط تا زمانی صحیح می باشند که غلظت هیچ یک از گازها از بازه سنجش عبور نکرده و هیچ یک از بخش های نانوحسگر زیستی چندگانه وارد بازه اشباع و غیر خطی نشده باشند. بنابر این پاسخ ۴ جزء نانوحسگر زیستی چندگانه در مقابل مخلوطی از ۴ گاز مورد نظر تشکیل ۴ معادله مجھولی را می دهد که تا وقتی فرضیات فوق رعایت شده باشند با حل آن می توان غلظت دقیق هریک از ۴ گاز مورد نظر را محاسبه نمود [۱۶]. برای تعیین ضرایب ۴ معادله ۴ مجھولی پاسخ هر بخش نانوحسگر زیستی چندگانه از چهار بخش (الف و ب و ج و د) به هریک از گازها با غلظت معلوم در آزمایش های انجام شده در نظر گرفته شد و معادله ۱ تشکیل شد که بیان کننده رابطه ریاضی بین پاسخ هر جزء نانوحسگر زیستی چندگانه و غلظت گازهای مجھول می باشد. در این معادله X غلظت گاز دی اکسید کربن (بر حسب ppm) و Y غلظت

عملکردی خطی باشد ولی لزوماً نیاز نیست که هر بخش فقط به یک گاز حساس باشد و کافی است پاسخ آن نسبت به گازهای مختلف متفاوت باشد. از این نانوحسگر زیستی چندگانه می‌توان در ساخت دستگاه‌های تشخیص افراد زنده و اجساد محبوس شده در زیر آوار ناشی از فرو ریختن ساختمان‌ها بهره برد که روند طراحی و ساخت دستگاه و نتیجه آزمایش‌های انجام شده در تحقیق بعدی به زودی منتشر خواهد شد.

چندگانه همزمان اندازه گیری و ذخیره شد (شکل ۱۰). با توجه به پاسخ‌های اندازه گیری شده معادله ۱ به صورت معادله ۲ بدست آمد.

با حل این معادله غلظت اندازه گیری شده برای گاز دی اکسید کربن ۹/۷۷۹ ppm، ۲۴/۷۷۹ ppm، گاز متان ۹/۷۷۲ ppm، گاز اتانول ۱۹/۳۳۸ ppm و گاز آمونیاک ۵/۳۸۹ ppm بدست آمد.

برای یک بررسی دیگر این نانوحسگر زیستی چندگانه به مدت ۲۰ ثانیه در ظرفی بدون گاز دی اکسید کربن و حاوی ۱۰ ppm گاز متان، ۲۰ ppm گاز اتانول و ۵ ppm گاز آمونیاک در اداد شد و پاسخ هر ۴ جزء نانوحسگر زیستی چندگانه همزمان اندازه گیری و ذخیره شد (شکل ۱۱). با توجه به پاسخ‌های اندازه گیری شده معادله ۱ به صورت معادله ۳ بدست آمد.

با حل این معادله غلظت اندازه گیری شده برای گاز دی اکسید کربن ۹/۶۲۳ ppm، ۹/۹۰۶ ppm، ۰/۲۴۵ ppm، گاز متان ۹/۸۶۰ ppm و گاز آمونیاک ۴/۸۶۰ ppm بدست آمد. این آزمایش با غلظت‌های متفاوت از گازها چندین بار دیگر انجام شد و با مقایسه نتایج اندازه گیری شده و غلظت‌های معلوم، خطای اندازه گیری سنسور برای اندازه گیری هر گاز به طور میانگین ۷ ppm و حداقل ۰/۲ ppm بدست آمد.

#### (۴) نتیجه گیری

همانطور که از نتایج مشخص شد، در این مطالعه یک نانوحسگر زیستی چندگانه برای تشخیص همزمان گازهای دی اکسید کربن، متان، اتانول و آمونیاک ساخته شد و پاسخ الکتروشیمیایی آن به غلظت‌های مختلف این گازها مورد بررسی قرار گرفت. برای ساخت این نانوحسگر زیستی چندگانه از نانوکامپوزیت گرافن اکساید-پلی آنیلینی که در تحقیق قبل به روش شیمیایی مستقیم با مدت زمان سنتز ۲۴ ساعت، به خوبی از روی گرافن اکساید و منور پلی آنیلین سنتز شده بود استفاده نمودیم. با قراردادن نانوکامپوزیت گرافن اکساید-پلی آنیلین بر روی الکترود نقره و اضافه کردن مقادیر مختلف اکسید فلزات مختلف عدد نانوحسگر زیستی چندگانه ساخته شد که با بررسی های الکتروشیمیایی مشخص شد که نانوحسگر زیستی چندگانه شماره ۵ که دارای ۸۰ میکروگرم اکسید فلز در هر بخش خود می‌باشد دارای عملکردی بهینه و خطی در بازه سنجش است. در نهایت مشخص شد که می‌توان با استفاده از پاسخ همزمان همه بخش‌های نانوحسگر زیستی چندگانه و استفاده از روابط ریاضی (۴) معادله ۴ (مجھول) غلظت دقیق هریک از گازهای موجود در نمونه مجھول را اندازه گیری نمود. از آنجا که هر بخش نانوحسگر زیستی چندگانه به صورت یک معادله مستقل عمل می‌نماید می‌توان با اضافه نمودن بخش‌های سنجشگر بیشتر که به سایر گازها حساس تر باشند به نانوحسگر زیستی چندگانه، تعداد معادلات و مجھولات را افزایش داد و درواقع برای اندازه گیری  $n$  نوع گاز مختلف می‌توان از یک نانوحسگر زیستی چندگانه با  $n$  بخش حسگر حساس به گازهای مختلف و تشکیل  $n$  معادله  $n$  مجھولی بهره برد و باید توجه داشت که همه بخش‌ها باید در بازه سنجش دارای

mediator. Vol. 13. 2017.

[16] Bodewig, E., CHAPTER 4 - THE METHOD OF SOLVING LINEAR EQUATIONS, in Matrix Calculus (Third Edition), E. Bodewig, Editor. 2014, North-Holland. p. 341-344.

## ۵) مراجع

[1] Gao, F., et al., Dual transduction on a single sensor for gas identification. *Sensors and Actuators B: Chemical*, 2019. 278: p. 21-27.

[2] Kulkarni, S., et al., Synthesis and evaluation of gas sensing properties of PANI, PANI/SnO<sub>2</sub> and PANI/SnO<sub>2</sub>/rGO nanocomposites at room temperature. *Inorganic Chemistry Communications*, 2018. 96: p. 90-96.

[3] Gaikwad, G., et al., Synthesis and evaluation of gas sensing properties of PANI based graphene oxide nanocomposites. *Materials Science and Engineering: B*, 2017. 218: p. 14-22.

[۴] مشیدی، ح.ر.، م. ربیعی، and ن. ربیعی، ساخت نانوبیوسنسور گاز اتانول بر پایه کامپوزیت GO/PANI/SnO<sub>2</sub>. مواد پیشرفتی و پژوهش های نوین، ۲۰۱۸، ۲۰۱۸-۱۷۹۸، p:(۲۶)۷

[5] Wu, Y., et al., Tuning the Surface Properties of Graphene Oxide by Surface-Initiated Polymerization of Epoxides: An Efficient Method for Enhancing Gas Separation. *ACS Applied Materials & Interfaces*, 2017. 9(5): p. 4998-5005.

[6] Lawal, A.T., Progress in utilisation of graphene for electrochemical biosensors. *Biosensors and Bioelectronics*, 2018. 106: p. 149-178.

[7] Nemade, K.R. and S.A. Waghuley, Highly responsive carbon dioxide sensing by graphene/Al<sub>2</sub>O<sub>3</sub> quantum dots composites at low operable temperature. *Indian Journal of Physics*, 2014. 88(6): p. 577-583.

[8] Galstyan, V., et al., Nanostructured ZnO chemical gas sensors. *Ceramics International*, 2015. 41(10, Part B): p. 14239-14244.

[9] Chang, Y., et al., Reduced Graphene Oxide Mediated SnO<sub>2</sub> Nanocrystals for Enhanced Gas-sensing Properties. *Journal of Materials Science & Technology*, 2013. 29(2): p. 157-160.

[10] Inyawilert, K., et al., Rapid ethanol sensor based on electro-lytically-exfoliated graphene-loaded flame-made In-doped SnO<sub>2</sub> composite film. *Sensors and Actuators B: Chemical*, 2015. 209: p. 40-55.

[11] Zhang, D., et al., Characterization of a hybrid composite of SnO<sub>2</sub> nanocrystal-decorated reduced graphene oxide for ppm-level ethanol gas sensing application. *RSC Advances*, 2015. 5(24): p. 18666-18672.

[12] Ye, Z., et al., Excellent ammonia sensing performance of gas sensor based on graphene/titanium dioxide hybrid with improved morphology. *Applied Surface Science*, 2017. 419: p. 84-90.

[13] Naghib, S., M. Rabiee, and E. Omidinia, Electrochemical Biosensor for L-phenylalanine Based on a Gold Electrode Modified with Graphene Oxide Nanosheets and Chitosan. Vol. 9. 2014. 2341-2353.

[14] Abdorahim, M., et al., Nanomaterials-based electrochemical immunoassays for cardiac troponin recognition: An illustrated review. *TrAC Trends in Analytical Chemistry*, 2016. 82: p. 337-347.

[15] Poursadeghian, S., et al., Development of electrochemical noninvasive glucose nanobiosensor using antioxidants as a novel